

## تهیه فیلم‌های آنتی‌لیستریایی متیل سلولز، کازئینات سدیم و باکتری لاکتوباسیلوس کازئی PTCC 1608

هدی قیومی<sup>1</sup> - محمدعلی نجفی<sup>2\*</sup> - محمد رهنما<sup>3</sup> - ناصر سلطانی تهرانی<sup>4</sup>

تاریخ دریافت: 1395/09/25

تاریخ پذیرش: 1395/12/25

### چکیده

در این تحقیق سعی گردید تا با استفاده از بیوپلیمرهای کازئینات سدیم و متیل سلولز فیلم مناسب جهت کنترل رشد باکتری لیستریا اینوکوا IBRC-M10799 تهیه گردد. بدین منظور باکتری لاکتوباسیلوس کازئی PTCC1608 به تعداد  $10^6$  CFU/cm<sup>2</sup> مستقیماً به محلول سازنده فیلم‌های کازئینات سدیم و متیل سلولز افزوده، سپس در دمای 25 درجه سانتی‌گراد و مدت 24 ساعت خشک شدند. تاثیر باکتری لاکتوباسیلوس کازئی PTCC1608 بر خصوصیات فیلم شامل نفوذپذیری بخار آب، کدورت و مکانیکی ارزیابی شد. همچنین اثر مهارکنندگی فیلم‌ها بر باکتری‌های لیستریا اینوکوا IBRC-M10799 و نرخ زنده‌مانی لاکتوباسیلوس کازئی PTCC1608 طی 12 روز (در دمای 5 درجه سانتی‌گراد) بررسی گردید. ارزیابی‌های آزمایشگاهی نشان داد حضور باکتری اسید لاکتیک در فیلم‌ها به‌طور معنی‌داری سبب افزایش شفافیت، نفوذپذیری بخار آب و مقدار کشش‌پذیری و همچنین کاهش معنی‌دار مقاومت کششی و مدول الاستیسیته شد. نرخ زنده‌مانی لاکتوباسیلوس کازئی PTCC1608 در فیلم سدیم کازئینات به‌طور معنی‌داری بالاتر بود. بیشترین مقدار نرخ بازداری لیستریا اینوکوا IBRC-M10799 در فیلم متیل سلولز به ترتیب در روزهای چهارم (86%) و دوازدهم (27%) مشاهده گردید ( $p < 0/05$ ). اما از روز هشتم به بعد فیلم زیست‌فعال کازئینات سدیم توانایی مهار بالاتری نشان داد. نتایج این تحقیق نشان داد نوع پلیمر نقش کلیدی در خواص ضد باکتریایی و فیزیکی فیلم زیست‌فعال دارد.

واژه‌های کلیدی: بیوپلیمر، باکتری اسیدلاکتیک، لیستریا اینوکوا

### مقدمه

از سوی سازمان غذا و دارو آمریکا FDA مجاز و GRAS شناخته شده‌اند. از سویی دیگر مشکلات زیست‌محیطی و دفع زباله‌های پلاستیکی، موجب شد تا استفاده از پوشش‌های خوراکی تجدیدپذیر اهمیت یابند. پوشش‌های خوراکی ترکیبات بیوپلیمری نازکی هستند که از قابلیت مناسبی جهت بسته‌بندی مواد غذایی، Bourtoom (2008) برخوردار بوده و با کاهش سرعت واکنش‌های مضر شیمیایی، فیزیکی و آنزیمی در کنترل عمر انبارمانی موثرند (Falguera *et al.*, 2011). اخیراً کاربرد نگاه‌دارندهای طبیعی در بیوپلیمرهای بسته‌بندی مواد غذایی تحت عنوان بسته‌بندی فعال گسترش پیدا کرده است (Galotto *et al.*, 2015). ترکیب پایه فیلم‌های خوراکی عمدتاً ترکیبات هیدروکلوئیدی می‌باشند که از قابلیت حمل و نگهداری باکتری‌های اسیدلاکتیک (Beristain-Bauza *et al.*, 2016) برخوردارند. از جمله بیوپلیمرهای مورد استفاده در ساخت فیلم، متیل سلولز می‌باشد. این ماده پلی‌ساکارید آنیونی خطی است که از واحدهای (4-β) گلوکزیدی تشکیل و از ترکیب سلولز با هیدروکسیدسدیم و کلریدمتیل ساخته می‌شود. این فیلم حلال در آب بوده و خصوصیات ممانعت‌کنندگی بالایی در برابر اکسیژن و لیپید دارد

طی سال‌های اخیر به دنبال افزایش علاقه مصرف‌کنندگان به غذاهای آماده، مباحث کنترل کیفیت مواد غذایی چشم‌گیرتر شده است. مصرف‌کنندگان، غذاهایی با حداقل فرآوری و حداکثر کیفیت را ترجیح می‌دهند. بنابراین استفاده از نگهدارندهای سنتزی مانند کلریدها، نیتريت‌ها، سولفیت‌ها و اسیدهای آلی چون لاکتیک، اسکوربیک و سوربیک رواج یافت (Jayasena *et al.*, 2013). افزودنی‌های سنتزی مانند نیتريت به دلیل اثرات سمی و سرطان‌زایی برای انسان مورد سوال قرار گرفته‌اند، به‌طوری که در برخی از کشورها استفاده از آن را محدود نموده‌اند. استفاده از روش‌های جایگزین مانند کاربرد باکتری‌های اسید لاکتیک و نیز متابولیت‌های ضد میکروبی در بسته‌بندی‌های مواد غذایی مورد توجه قرار گرفته است. این ترکیبات

1، 2، 3 و 4 - به ترتیب دانشجوی کارشناسی‌ارشد، استادیار، دانشیار و مربی، گروه علوم و صنایع غذایی، دانشگاه زابل.

\*مسئول مکاتبات: (Email: najafi413@yahoo.com)  
DOI: 10.22067/ifstrj.v1396i0.61074

ساختاری فیلم‌ها و نیز فعالیت ضدلیستریایی فیلم‌های تهیه شده در شرایط آزمایشگاهی تعیین گردید. در این پژوهش باکتری ل. اینوکوا 10799 به دلیل مشابهت فیزیولوژیکی با لیستریا منوسیتوژنز و غیر بیماری‌زا بودن جایگزین شد (Banada et al., 2007).

### مواد و روش‌ها

باکتری ل. کازئی 1608 از کلکسیون کشت میکروبی ایران و لیستریا اینوکوا 10799 از مرکز ملی ذخایر ژنتیکی و زیستی ایران به صورت لیوفیلیزه تهیه گردیدند. جهت تکثیر و تهیه سوسپانسیون‌های باکتری ل. کازئی 1608 (Vescovo et al., 2006) و لیستریا اینوکوا 10799 (Castro et al., 2017) به ترتیب از محیط کشت MRS<sup>5</sup> مایع (لیوفیلکم ایتالیا) و BHI<sup>6</sup> مایع (لیوفیلکم ایتالیا) استفاده شد. باکتری‌های ل. کازئی 1608 و لیستریا اینوکوا 10799 تلقیح شده در محیط مایع به ترتیب در دمای 30 و 37 درجه سانتی‌گراد، مدت زمان 24 ساعت گرمخانه‌گذاری گردیدند. منحنی رشد جمعیت سوسپانسیون ل. کازئی 1608 و لیستریا اینوکوا 10799 به روش پورپلیت و کدورت‌سنجی در طول موج OD=600 نانومتر (Corcoran et al., 2007) رسم گردید. نمونه‌های کشت باکتریایی ل. کازئی 1608 (10<sup>6</sup> Cfu/ml) و لیستریا اینوکوا 10799 (10<sup>2</sup> Cfu/ml) با شتاب 3500g به مدت 15 دقیقه سانتریفوژ (Eppendorf 5810، آلمان) و رسوب به دست آمده پس از دو بار شستشو با محلول فسفات بافر سالین<sup>7</sup> (pH=7) جهت تهیه سوسپانسیون‌های میکروبی مورد استفاده قرار گرفت.

### آماده‌سازی فیلم‌ها

جهت تهیه سوسپانسیون سازنده فیلم متیل سلولز مقدار 4 گرم پودر متیل سلولز در آب مقطر استریل در دمای محیط حل، و 1 گرم گلیسرول به محلول فیلم به نسبت 0/25 به 1 وزنی/ وزنی اضافه شد. سپس توسط هموژنایزر (اولترا تراکس، T 25، آلمان) با سرعت 13500 دور بر دقیقه به مدت 4 دقیقه همگن گردید. در مرحله بعد هواگیری به کمک پمپ خلا (jencons، انگلستان) در دمای اتاق انجام شد (Sanchez- Gonzalez et al., 2014). جهت تهیه سوسپانسیون سازنده فیلم کازئینات سدیم، مقدار 5 گرم پودر کازئینات سدیم به 100 میلی‌لیتر آب مقطر حاوی 1/5 گرم گلیسرول در دمای 5±65 درجه سانتی‌گراد اضافه و پس از انحلال کامل، دمای سوسپانسیون کازئینات سدیم تا 5±85 درجه سانتی‌گراد افزایش یافت. سوسپانسیون به مدت 1 ساعت در این دما همزده، سپس توسط پمپ

(Aminabhavi et al., 2008). کازئینات سدیم یکی دیگر از بیوپلیمرهای رایج در ساخت فیلم خوراکی می‌باشد. پروتئین کازئین، رشته‌ای شکل با ساختار مارپیچ تصادفی است و در شیر به صورت میسل حضور دارد. میسل‌های کازئین از بخش‌های آلفا کازئین (46 درصد)، بتا کازئین (34 درصد)، گاما کازئین (7 درصد)، فسفات کلسیم و یون‌های سترات و منیزوم تشکیل شده‌اند. فیلم حاصل از کازئینات ارزش غذایی، خواص مکانیکی و مانع‌کنندگی بالایی در برابر هوا دارد (Schou et al., 2004). تحقیقات نشان داده زمان تاثیر باکتریوسین‌های مورد استفاده در لفاف‌های بسته‌بندی مواد غذایی کوتاه است (Kristo et al., 2008). از روش‌های مهار باکتری‌های بیماری‌زا و فسادزا کاربرد باکتری‌های اسیدلاکتیک می‌باشد (Alegre et al., 2011). به منظور حل این مشکل تلقیح باکتری‌های اسیدلاکتیک به ماتریکس پلیمر ارزیابی گردید. Sanchez-Gonzalez و همکاران (2014) گزارش کردند فیلم‌های سدیم کازئینات و متیل سلولز حاوی لاکتوباسیلوس اسیدوفیلوس و لاکتوباسیلوس روتری به مدت یک هفته توانایی مهار کامل لیستریا اینوکوا را در محیط آزمایشگاهی داشتند. این نوع بسته‌بندی‌ها می‌تواند رویکرد جدیدی در مهار رشد باکتری‌های بیماری‌زا و جایگزین مناسبی برای نگهداری مواد غذایی باشد (Kanmani et al., 2013; Odila Pereira et al., 2016). از مهم‌ترین باکتری‌های بیماری‌زا و فسادزا می‌توان به جنس لیستریا اشاره نمود. این جنس شامل چندین گونه، لیستریا منوسیتوژنز، لیستریا اینوکوا،<sup>1</sup> لیستریا ایوانووی،<sup>2</sup> لیستریا سیلیگری<sup>3</sup> می‌باشد. مهم‌ترین گونه آن لیستریا منوسیتوژنز است این باکتری شرایط فعالیت آبی و دمای پایین را تحمل نموده و می‌تواند مواد غذایی را در طی مراحل آماده‌سازی و بسته‌بندی آلوده نماید. لیستریا منوسیتوژنز همچنین قادر است باعث افزایش تعداد مونوسیت‌های خون، نازائی، سقط جنین و آنسفالیت گردد (Barmpalia et al., 2005). از گونه‌های لاکتوباسیلوس می‌توان به لاکتوباسیلوس کازئی<sup>4</sup> اشاره نمود، این باکتری میله‌ای شکل، هتروفرمانتو اختیاری بوده و در محدوده دمایی 10-45 درجه سانتی‌گراد رشد می‌نماید (Vescovo et al., 2006). گزارش شده ترکیبات ضد میکروبی تولید شده توسط لاکتوباسیلوس کازئی می‌تواند رشد لیستریا منوسیتوژنز را مهار کند (Martinez et al., 2005). هدف از این پژوهش تهیه فیلم خوراکی جدید بر پایه گنجاندن لاکتوباسیلوس کازئی PTCC 1608 (ل. کازئی 1608) در ماتریکس فیلم‌های کازئینات سدیم و متیل سلولز می‌باشد. در تحقیق پیش رو تاثیر باکتری اسیدلاکتیک بر خصوصیات فیزیکی و مکانیکی و

1 *Listeria Innocua*

2 *Ivanovii*

3 *Listeria Seeligeri*

4 *Lactobacillus .Casei*

5 de Man, Rogosa and Sharpe  
6 Blood Heat Infusion Broth  
7 Phosphate Buffer Saline

طبق فرمول (1) و (2) محاسبه گردید (Zheng and Zhu, 2003).

$$N_0 = \frac{NO - N1}{NO} \times 100 \quad (1)$$

$N_0$ : تعداد اولیه کلنی باکتری بیماری‌زا

$N_1$ : تعداد نهایی کلنی باکتری بیماری‌زا در زمان آزمایش

$$N_0 = \frac{N}{NO} \times 100 \quad (2)$$

$N_0$ : تعداد اسیدلاکتیک باکتری زنده اولیه

$N_1$ : تعداد اسیدلاکتیک باکتری زنده در زمان آزمایش

### خواص مکانیکی

آزمایشات مکانیکی با استفاده از دستگاه بافت‌سنج (Testometric, M350-10CT، انگلستان) انجام شد. نمونه‌های فیلم متعادل شده در رطوبت نسبی 75% و دمای 5 درجه سانتی‌گراد به شکل مستطیلی به ابعاد 100×5/4 میلی‌متر طبق استاندارد ASTM (ASTM, 2001) D-882 بریده شدند. فاصله بین دو فک دستگاه 50 میلی‌متر و سرعت حرکت فک‌ها 50 میلی‌متر بر دقیقه انتخاب شد. مقاومت کششی (TS)، درصد ازدیاد طول (E%) و مدول الاستیک (EM) برای هر فیلم اندازه‌گیری گردید.

### نفوذپذیری به بخار آب<sup>3</sup>

اندازه‌گیری نفوذپذیری بخار آب فیلم طبق روش Sanchez-Gonzalez و همکاران (2014) با کمی تغییرات انجام گرفت. برای انجام آزمایش از ویال‌های شیشه‌ای با قطر خارجی 2cm استفاده گردید. 10 میلی‌لیتر آب مقطر به داخل ویال افزوده و نمونه‌های فیلم بر روی ویال به کمک پارافیلیم محکم گردیدند. سپس در دسیکاتور با رطوبت نسبی 75% و دمای 5 درجه سانتی‌گراد قرار داده شدند. انتقال بخار آب فیلم از طریق کاهش وزن فنجان‌ها هر 12 ساعت یک‌بار با ترازوی 0/0001 اندازه‌گیری گردید. با استفاده از شیب منحنی نمودار کاهش وزن بر حسب زمان تقسیم بر مساحت فیلم ( $A, m^2$ )، آهنگ انتقال بخار آب (WVTR) محاسبه و نفوذپذیری به بخار آب طبق فرمول (3) محاسبه گردید.

$$\text{WVTR} \times d = \frac{\Delta P}{\Delta P} \quad (3)$$

$d$  = ضخامت نمونه فیلم (mm)،  $\Delta p$  = اختلاف فشار بخار آب در سراسر فیلم (Kpa)

### کدورت

جهت تعیین کدورت فیلم‌ها طبق روش (Nu nez-Floraes et

خلا هواگیری شد (Borumand et al., 2011). در ادامه جهت تهیه فیلم زیستی، باکتری ل. کازئی 1608 طبق روش Sanchez-Gonzalez و همکاران (2013) تکثیر و پس از دو بار شستشو، به ترتیب مقادیر 300 و 240 میکرولیتر از سوسپانسیون ل. کازئی 1608 به 98 میلی‌لیتر سوسپانسیون کازینات سدیم و متیل سلولز فیلم افزوده و به مدت 5 دقیقه توسط همزن مخلوط شد. این نسبت با هدف ایجاد  $10^6$  CFU/cm<sup>2</sup> میکروب در فیلم خشک شده انتخاب گردید. سپس محلول فیلم را به داخل ظرف‌های پلاستیکی (25×25 سانتی‌متر) ریخته و در آن دمای 25 درجه سانتی‌گراد طی مدت 24 ساعت خشک گردیدند. تمامی مراحل انجام کار با تکنیک آسپتیک و در شرایط استریل انجام شد. دانسیته تمامی نمونه‌های فیلم بر حسب وزن خشک  $52/2 \text{ g/m}^2$  و متوسط ضخامت فیلم‌های به دست آمده  $0/71 \pm 0/05$  میلی‌متر بود. فیلم‌های بدون باکتری اسیدلاکتیک به عنوان فیلم‌های کنترل در نظر گرفته شدند. همه فیلم‌ها قبل از آزمون‌های فیزیکی و مکانیکی به منظور مشروط شدن یک هفته در دسیکاتور با دمای 5 درجه سانتی‌گراد و رطوبت نسبی 75% قرار داده شدند (Sanchez-Gonzalez et al., 2014). به منظور تامین رطوبت 75% از محلول فوق اشباع نمک کلرید سدیم استفاده گردید.

### فعالیت ضد میکروبی فیلم‌های حاوی ل. کازئی 1608

فعالیت ضد میکروبی فیلم‌ها طبق روش Kristo و همکاران (2008) انجام گردید. بر این اساس مقدار 50 میکرولیتر از سوسپانسیون باکتری لیستریا اینوکوا 10799 بر روی محیط کشت TSA<sup>1</sup> تلقیح و کشت سطحی داده شد. تلقیح به گونه‌ای انجام گرفت که غلظت نهایی لیستریا اینوکوا 10799 در سطح محیط کشت  $10^2$  CFU/cm<sup>2</sup> سلول باشد. سپس فیلم‌های شاهد و زیست فعال بر روی محیط‌های کشت TSA آلوده به باکتری لیستریا اینوکوا 10799 قرار گرفته و در دمای 5 درجه سانتی‌گراد به مدت 12 روز نگهداری شدند. تعداد باکتری لیستریا ل. کازئی 1608 در روزهای صفر، 4، 8 و 12 شمارش گردیدند. نمونه‌ها در شرایط کاملاً استریل به همراه 100 میلی‌لیتر فسفات بافر سالین به کیسه استومیکر انتقال داده و به مدت 2 دقیقه توسط دستگاه استومیکر همگن و رقت‌های متوالی تهیه گردید. در نهایت کشت میکروبی بر روی محیط کشت MRS آگار برای ل. کازئی 1608 و PALCAM<sup>2</sup> آگار برای لیستریا اینوکوا 10799 انجام گرفت. پلیت‌ها به مدت 48 ساعت در دمای 37 درجه سانتی‌گراد گرمخانه‌گذاری و بعد از 48 ساعت شمارش انجام گردید. تمامی آزمون‌های میکروبی در سه تکرار انجام شدند. نرخ بازدارندگی باکتری لیستریا اینوکوا 10799 و زنده‌مانی ل. کازئی 1608 به ترتیب

1 Tryptone Soy Agar

2 Palcam Listeria-Selective

پروتئینی نسبت به بیوپلیمر سلولزی بالاتر است که با نتایج به دست آمده در این تحقیق مطابقت دارد. بررسی تصاویر میکروسکوپ الکترونی SEM (شکل 2) نشان می‌دهد که کازئی 1608 (اجزاء لوبیایی شکل) به طور مناسب در ماتریکس کازئینات سدیم قرار گرفته که می‌تواند یکی از دلایل بالا بودن توانایی زنده‌مانی در این ماتریکس باشد. کاهش نرخ زنده‌مانی ل. کازئی 1608 در فیلم کازئینات سدیم از روز هشتم به بعد می‌تواند به دلیل افزایش استرس اسمزی و تراکم متابولیت‌های باکتری در محیط اطراف باشد (Kanmani et al., 2013).

تحلیل داده‌های مربوط به اثر مهارکنندگی بر روی رشد لیستریا اینوکوا 10799 طی مدت 12 روز و در شرایط آزمایشگاهی (شکل 1) بیانگر آن است که فیلم‌های متیل سلولز و کازئینات سدیم حاوی ل. کازئی 1608 در تمام روزها دارای اثر مهارکنندگی معنی‌داری می‌باشند ( $p < 0/05$ ). به طوری که بیشترین اثر بازدارندگی در روز چهارم و در فیلم متیل سلولز مشاهده گردید ( $p < 0/05$ ). احتمالاً ایجاد تنش در متابولیسم سلولی میکروب باعث افزایش تولید ترکیبات ضد میکروبی (باکتریوسین، اسیدهای آلی هیدروژن پراکسید و...) گردیده است (Gálvez et al., 2007). همچنین کمترین مقدار اثر بازدارندگی لیستریا اینوکوا 10799 در فیلم متیل سلولز و در روز دوازدهم مشاهده شد که با کاهش جمعیت باکتری اسیدلاکتیک در درون فیلم مطابقت دارد (Bevilacqua et al., 2010). از طرفی فیلم سدیم کازئینات از روز هشتم به بعد نرخ بازدارندگی بیشتری نسبت به فیلم متیل سلولز نشان داد ( $p < 0/05$ ). که می‌تواند ناشی از توانایی بالا زنده‌مانی ل. کازئی 1608 در ماتریکس کازئینات سدیم نسبت به متیل سلولز باشد (Leonard et al., 2014). همچنین نتایج حاصل از تحلیل آماری نشان داد فیلم‌های کنترل هیچ گونه اثر بازدارندگی بر روی رشد لیستریا اینوکوا 10799 ندارند ( $p > 0/05$ ) (نتایج نشان داده نشده است). Gialamas و همکاران (2010) بیان کردند پوشش سدیم کازئینات حاوی لاکتوباسیلوس ساکی سبب مهار 4 سیکل لگاریتمی لیستریا منوسیتوتونز نسبت به نمونه فیلم بدون لاکتوباسیلوس گردید که نشان‌دهنده تاثیر باکتری‌های اسیدلاکتیک مهار شده درون پوشش بر باکتری‌های مولد فساد می‌باشد

#### خصوصیات مکانیکی فیلم

همانطور که در شکل 3 نشان داده شده است. نوع فیلم در خصوصیات مکانیکی تاثیر معناداری دارد (شکل 3 الف، ب، ج) ( $p < 0/05$ ). به طوری که فیلم متیل سلولز مقاومت کششی (26/9 مگاپاسکال)، مدول الاستیک (480 مگاپاسکال) و درصد طول شدن (27/3%) بالاتری نسبت به فیلم کازئینات سدیم نشان داد. احتمالاً بالا بودن مقادیر خواص فیزیکی فیلم متیل سلولز نسبت به کازئینات

al., 2012) عمل گردید بر این اساس ابتدا نمونه فیلم به شکل مستطیل در ابعاد  $1/5 \times 0/7$  سانتی‌متر بریده و داخل سل اسپکتروفوتومتری (cecil، انگلستان) قرار داده شدند. مقدار جذب در طول موج 650 نانومتر و در سه تکرار اندازه‌گیری گردید. کدورت فیلم‌های مختلف از تقسیم طیف جذب بر ضخامت فیلم (mm) طبق فرمول (4) محاسبه شد.

(4) ضخامت فیلم (میلی‌متر) / جذب (650 نانومتر) = کدورت

#### ریز ساختار SEM

برای بررسی ریز ساختار از میکروسکوپ الکترونی طبق روش Seyedی و همکاران (2014) با کمی تغییر استفاده شد. ابتدا فیلم در ازت مایع منجمد و سپس خرد و سپس بروی پایه آلومینیومی چسبانده شد. در نهایت نمونه‌های فیلم با لایه نازکی از طلا پوشانده و با استفاده از دستگاه میکروسکوپ الکترونی (KYKY، 3200) باولتاژ 26 کیلووات (KV) تصاویر تهیه شدند.

#### تجزیه و تحلیل آماری داده‌ها

آزمون‌ها در قالب طرح کاملاً تصادفی با آرایش فاکتوریل و با سه تکرار انجام شد و تجزیه و تحلیل اختلاف‌ها توسط نرم‌افزار SAS نسخه 9/1 تعیین شد. مقایسه میانگین داده‌های فیزیکی و میکروبی به ترتیب به کمک آزمون دانکن و توکی انجام شد.

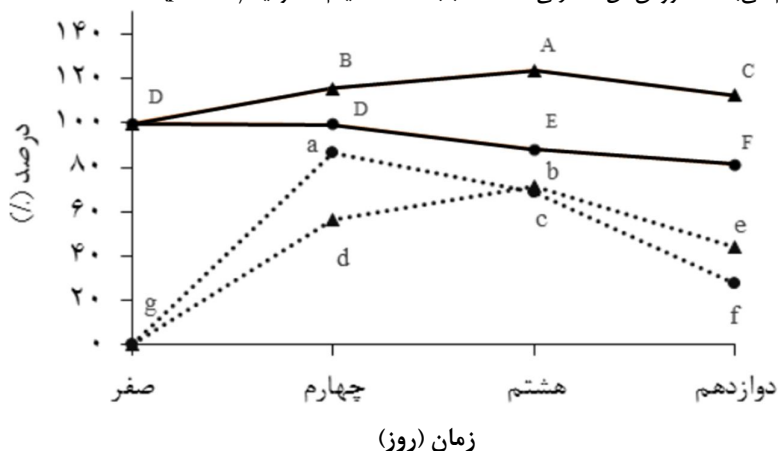
#### نتایج و بحث

##### نرخ زنده‌مانی ل. کازئی 1608 و فعالیت ضد میکروبی فیلم‌ها در برابر لیستریا اینوکوا 10799

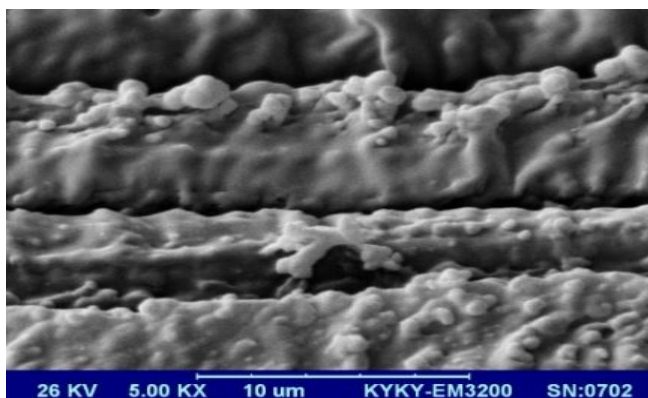
مقایسه میانگین‌های نرخ زنده‌مانی ل. کازئی 1608 و نیز اثر بازدارندگی لیستریا اینوکوا 10799 فیلم‌های تهیه شده در شکل 1 آورده شده است. آنالیز داده‌ها نشان دادند نرخ زنده‌مانی ل. کازئی 1608 در فیلم سدیم کازئینات نسبت به متیل سلولز به صورت معنی‌داری بیشتر بوده است ( $p < 0/05$ ). مقایسه روند تغییرات نرخ زنده‌مانی نیز تفاوت‌هایی را نشان می‌دهد که بیشترین نرخ زنده‌مانی ل. کازئی 1608 در فیلم‌های کازئینات سدیم و متیل سلولز به ترتیب در روزهای هشتم (123/8%) و اول (100%) مشاهده گردید. در مجموع کمترین نرخ زنده‌مانی در فیلم متیل سلولز و در روز دوازدهم 81% دیده شد ( $p < 0/05$ ). بالا بودن توانایی زنده‌مانی لاکتوباسیلوس‌ها در ماتریکس پروتئینی می‌تواند به دلیل ظرفیت بافری بالا و تامین مواد مغذی (پپتید و آمینواسید) باشد (Leonard et al., 2014). در همین راستا Sanchez-Gonzalez و همکاران (2014) بیان کردند توانایی زنده‌مانی لاکتوباسیلوس‌های اسیدوفیلوس و روتری در ماتریکس

کاهش مقاومت کششی، مدول الاستیسیته و افزایش کشش پذیری فیلم‌ها گردید ( $p < 0/05$ ).

سدیم، همانطور که شکل 4 نشان می‌دهد، می‌تواند ناشی از ساختار یکنواخت و همگن این فیلم می‌باشد. افزودن ل. کازئی 1608 سبب



شکل 1- اثر زمان بر نرخ زنده‌مانی لاکتوباسیلوس کازئی PTCC 1608 (—) و بازدارندگی لیستریا اینوکوا IBRC-M 10799 (.....). ماتریکس کازئینات سدیم (▲) و متیل سلولوز (●)، حروف غیرمشابه بزرگ و کوچک بترتیب بیانگر تفاوت معنی‌دار مقادیر میانگین نرخ زنده‌مانی لاکتوباسیلوس کازئی PTCC 1608 و بازدارندگی لیستریا اینوکوا IBRC-M 10799 می‌باشند ( $p < 0/05$ ).



شکل 2- تصویر میکروسکوپ الکترونی از مقطع عرضی فیلم کازئینات سدیم حاوی لاکتوباسیلوس کازئی PTCC 1608. با بزرگنمایی 5000×

باعث می‌شود پیوندهای شبکه پلیمر تغییر کرده و در نتیجه ساختار منسجم ماتریکس متیل سلولوز و به دنبال آن مقاومت مکانیکی کاهش یابد (Chambi et al., 2006).

#### نفوذپذیری بخار آب فیلم

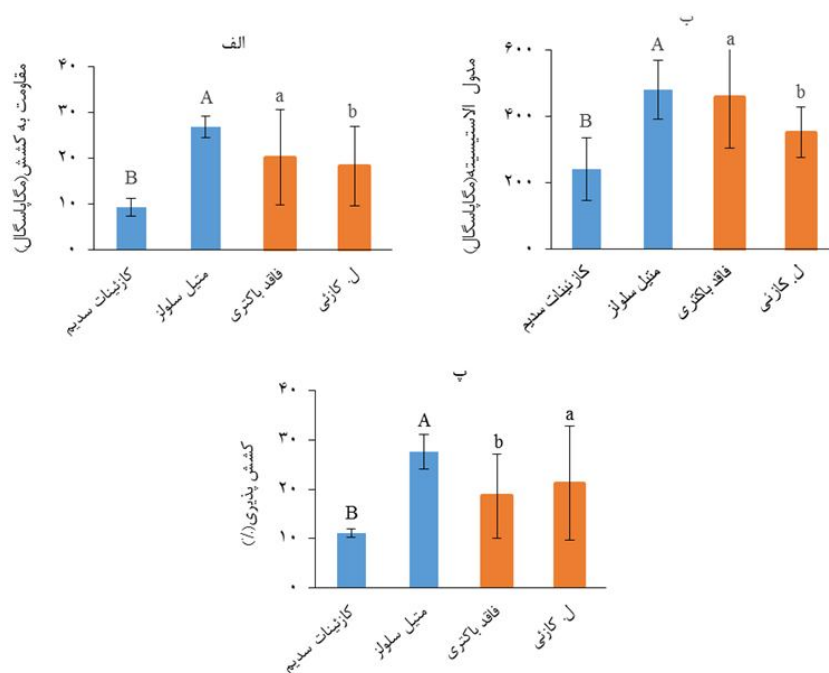
نفوذپذیری به بخار آب یکی از مهم‌ترین پارامترهای بیان‌کننده خصوصیات عملکردی فیلم می‌باشد. نتایج حاصل از ارزیابی این ویژگی نشان می‌دهد (شکل 5) نوع فیلم بر مقدار نفوذپذیری به بخار آب تاثیر معناداری دارد ( $p < 0/05$ ). به نحوی که فیلم کازئینات سدیم

گزارشات متعددی در دست است که نشان می‌دهند حضور لاکتوباسیلوس در ماتریکس بیوپلیمر سبب کاهش مقاومت به کشش و عدم تغییر مدول الاستیسیته و کشش‌پذیری گردیده است (Odila et al., 2016; Beristain-Bauza et al., 2016). Sanchez-Gonzalez و همکاران (2014) بیان کردند حضور لاکتوباسیلوس/اسیدوفیلوس سبب کاهش مدول الاستیسیته و افزایش کشش‌پذیری در فیلم متیل سلولوز و عدم تغییر خصوصیات مکانیکی در فیلم سدیم کازئینات گردید. خصوصیات مکانیکی فیلم‌ها تحت تاثیر ساختار به هم پیوسته ماتریکس فیلم است. احتمالاً تلقیح باکتری

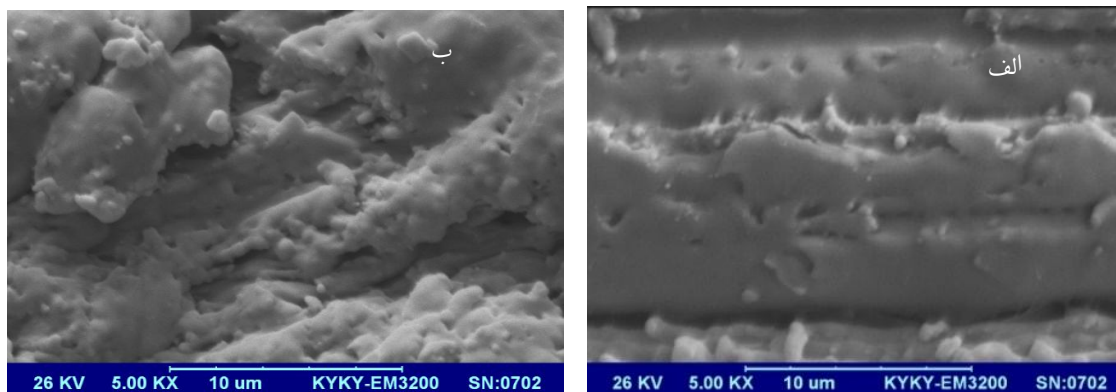
(2014) بیان کردند حضور لاکتوباسیلوس در ساختار فیلم زیستی سبب افزایش نفوذپذیری بخار آب گردیده است. تصاویر SEM (شکل 2 و 6) فیلم‌های زیستی تهیه شده نشان می‌دهد حضور ل. کارژی در فیلم باعث ایجاد ناپوستگی‌هایی در ماتریکس گردیده است. این خصوصیت می‌تواند باعث افزایش قابلیت جابه‌جایی زنجیره‌های پلیمری و انتقال مولکول‌های آب گردد- (Sanchez-Gonzalez et al., 2013).

نفوذپذیری بالاتری نسبت به متیل سلولز دارد. این مهم می‌تواند احتمالاً ناشی از تفاوت ساختار ملکولی پلیمرها باشد (Beristain-Bauza et al., 2016).

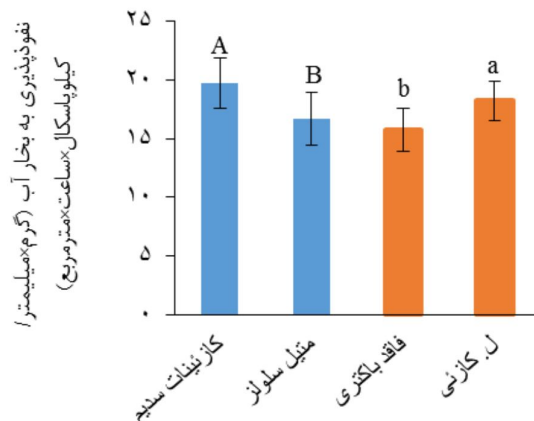
نتایج حاصل از داده‌ها نشان داد حضور ل. کارژی 1608 بر قابلیت نفوذپذیری بخار آب فیلم‌ها تاثیر داشت به صورتی که در مقایسه با نمونه‌های فاقد میکروب به‌طور معنی‌داری باعث افزایش مقدار نفوذپذیری به بخار آب گردید. Sanchez-Gonzalez و همکاران



شکل 3- اثر نوع فیلم (■) و باکتری لاکتوباسیلوس کارژی 1608 (■) بر مقدار نفوذپذیری به بخار آب نمونه‌های فیلم. حروف بزرگ و کوچک غیرمشابه بالای هر ستون به ترتیب بیانگر تفاوت اثر معنی دار نوع فیلم و حضور باکتری لاکتوباسیلوس کارژی 1608 می‌باشند ( $p < 0/05$ ).



شکل 4- تصویر میکروسکوپ الکترونی از مقطع عرضی فیلم متیل سلولز (الف) و کنترول سدیوم (ب) با بزرگنمایی 5000x.

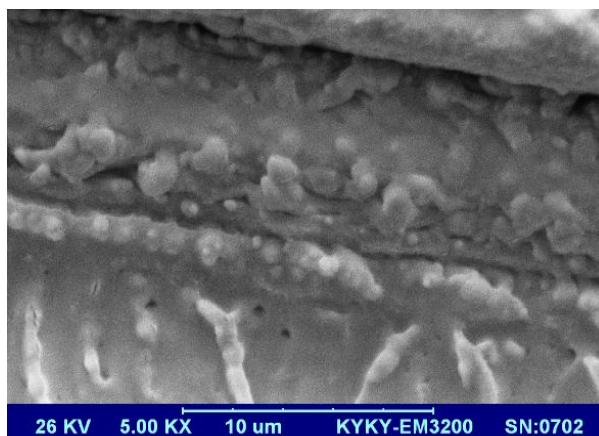


شکل 5 - اثر نوع فیلم (■) و باکتری لاکتوباسیلوس کازئینی PTCC 1608 (■) بر مقدار نفوذپذیری به بخار آب نمونه های فیلم. حروف بزرگ و کوچک غیرمشابه بالای هر ستون به ترتیب بیانگر تفاوت اثر معنی دار نوع فیلم و حضور باکتری لاکتوباسیلوس کازئینی PTCC 1608 می باشند ( $p < 0/05$ ).

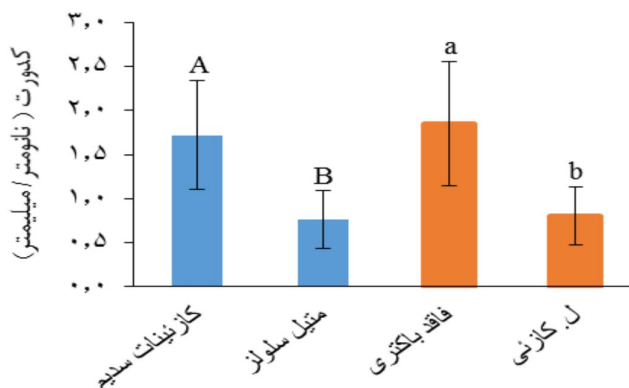
نشان داده شده است. آنالیز داده‌های بدست آمده نشان می‌دهد نوع فیلم در مقدار کدورت تاثیر معنی‌داری دارد ( $p < 0/05$ ). به‌طوری‌که فیلم متیل سلولوز نسبت به کازئینات سدیم شفاف‌تر است ( $p < 0/05$ ). بر طبق نظریه Randazzo و همکاران (2016) ساختار یکنواخت و همگن فیلم (شکل 4) می‌تواند سبب شفافیت بیشتر آن گردد.

#### کدورت

ویژگی کدورت فیلم‌ها به دلیل تاثیر مستقیم بر ظاهر محصولات بسیار مهم است. عواملی چون قابلیت کریستالیزاسیون، اندازه ذرات، نوع و مقدار نرم‌کننده، روش آماده‌سازی و همچنین ضریب انعکاس از مهمترین عوامل موثر در شفافیت فیلم می‌باشد (Fakhouri *et al.*, 2013). نتایج حاصل از ارزیابی کدورت نمونه‌های فیلم در شکل 7



شکل 6- تصویر میکروسکوپ الکترونی از مقطع عرضی فیلم متیل سلولوز حاوی لاکتوباسیلوس کازئینی PTCC 1608. با بزرگنمایی 5000x.



شکل 7- اثر نوع فیلم (■) و باکتری لاکتوباسیلوس کاززی PTCC 1608 (■) بر مقدار کدورت نمونه های فیلم. حروف بزرگ و کوچک غیر مشابه بالای هر ستون به ترتیب بیانگر تفاوت اثر معنی دار نوع فیلم و

نتایج به دست آمده در شکل 7 بیانگر آن است که حضور ل. کاززی 1608 باعث کاهش کدورت فیلم‌ها شده است. Sanchez و همکاران (2014) تاثیر حضور باکتری اسیدلاکتیک بر شفافیت فیلم‌های خوراکی را بررسی نموده و بیان داشتند حضور باکتری اسیدلاکتیک باعث شفافیت بیشتر فیلم می‌شود که احتمالاً می‌تواند ناشی از افزایش محتوی رطوبت فیلم می‌باشد. Kanmani و همکاران (2013) بیان داشتند حضور لاکتوباسیلوس‌ها در فیلم پلوان/ نشاسته سبب افزایش کدورت گردید که می‌تواند بدلیل تفاوت فرمولاسیون نوع فیلم‌ها باشد.

متیل سلولوز و کان‌ثینات سدیم از پتانسیل مناسبی جهت نگهداری باکتری ل. کاززی 1608 برخوردار بوده و به خوبی دارای فعالیت ضدلیستریایی هستند. هرچند قابلیت زنده ماندن باکتری اسید لاکتیک در ماتریکس کان‌ثینات سدیم بیشتر بود. حضور ل. کاززی 1608 در فرمولاسیون فیلم سبب افزایش شفافیت، افزایش کشش پذیری، کاهش مدول الاستیسیته و مقاومت کششی نسبت به نمونه کنترل گردید. نتایج به دست آمده نشان دادند تهیه لفاف‌های بسته بندی خوراکی با استفاده از بیوپلیمرهای زیست تخریب پذیر همراه با باکتری‌های اسید لاکتیک از قابلیت‌های منحصر بفردی برخوردار است که می‌تواند در توسعه فیلم‌های ضد میکروبی، کاهش مشکلات زیست محیطی و نیز افزایش انبارمانی فرآورده‌های گوشتی موثر باشند.

نتایج این تحقیق نشان داد فیلم‌های تهیه شده از پلیمرهای

## نتیجه گیری

نتایج این تحقیق نشان داد فیلم‌های تهیه شده از پلیمرهای

## منابع

- Alegre, I., Viñas, I., Usall, J., Anguera, M. & Abadias, M., 2011, Microbiological and physicochemical quality of fresh-cut apple enriched with the probiotic strain *Lactobacillus rhamnosus* GG. *Food Microbiology*, 28, 59-66.
- ASTM, 2001, Standard test method for tensile properties of thin plastic sheeting. Standard D882 ASTM, Annual book of ASTM, pp. 162-170.
- Aminabhavi, T. M., Balundgi, R. H., & Cassidy, P. E., 2008, A review on biodegradable plastics. *Polymer-Plastics Technology and Engineering*, 29, 235-262.
- Banada, P. P., Guo, S., Bayraktar, B., Bae, E., Rajwa, B., Robinson, J. P., & Bhunia, A. K. (2007). Optical forward scattering for detection of *Listeria monocytogenes* and other *Listeria* species. *Biosensors and Bioelectronics*, 22(8), 1664-1671.
- Barmपालیا, I. M., Koutsoumanis, K. P., Geornaras, I., Belk, K. E., Scanga, J. A., Kendall, P. A., Smith, G. C. & Sofos, J. N., 2005, Effect of antimicrobials as ingredients of pork bologna for *Listeria monocytogenes* control during storage at 4 or 10 °C. *Food Microbiology*, 22, 205-211.
- Beristain-Bauza, S. C., Mani-López, E., Palou, E., & López-Malo, A., 2016, Antimicrobial activity and physical properties of protein films added with cell free supernatant of *Lactobacillus rhamnosus*. *Food Control*, 62, 44-51.
- Bevilacqua, A., Sinigaglia, M., & Corbo, M. R., 2010, an acid/alkaline stress and the addition of amino acids induce a



- prolonged viability of *Lactobacillus plantarum* loaded into alginate gel. *International Journal of Food Microbiology*, 142(1-2), 242-246.
- Bourtoom, T., 2008, Edible films and coatings: characteristics and properties. *International Food Research Journal*, 15(3), 237-248.
- Broumand, A., Emam-Djomeh, Z., Manouchehr, H., & Razavi, S. H., 2011, Antimicrobial, water vapour permeability, mechanical and thermal properties of casein based *Zataria multiflora* Boiss. Extract containing film. *LWT - Food science and Technology*, 44, 2316-2323.
- Castro, K. A.D.F., Moura, N. M.M., Fernandes, A., Faustino, M. A. F., Simoes, M. M.Q., Cavaleiro, J. A.S., Nakagaki, S., Almeida, A., Cunha, A., Silvestre, A. J.D., Freire, C. S.R., Pinto, R. J.B., & Neves, M. d. G. P.M.S., 2017, Control of *Listeria innocua* biofilms by biocompatible photodynamic antifouling chitosan based materials. *Dyes and Pigments*, 137, 265-276.
- Chambi, H., & Grosso, C., 2006, Edible films produced with gelatin and casein cross linked with transglutaminase. *Food Research International*, 39, 458-466.
- Corcoran, B. M., Stanton, C., Fitzgerald, G. F. & Ross, R. P., 2007, Growth of probiotic lactobacilli in the presence of oleic acid enhances subsequent survival in gastric juice. *Microbiology*, 153, 291-299.
- Fakhouri, F. M., Costa, D., Yamashita, F., Martelli, S. M., Jesus, R. C., & Alganer, K., 2013, Comparative study of processing methods for starch/gelatin films. *Carbohydrate Polymers*, 95(2), 681-689.
- Falguera, V., Quintero, J. P., Jiménez, A., Muñoz, J. A., & Ibarz, A., 2011, Edible films and coatings: structures, active functions and trends in their use. *Trends in Food science & Technology*, 22(6), 292-303.
- Galotto, M. J., Guarda, A., & Lopez de Dicastillo, C., 2015, Antimicrobial active polymers in food packaging. In G. Cirillo, F. Iemma, & U. G. Spirizzi (Eds.), *Functional polymers in food science* (1<sup>st</sup> ed.). *New Jersey, USA: scrivener Publishing Editorial*.
- Galvez, A., Abriouel, H., Lopez, R. L., & Ben Omar, N., 2007, Bacteriocin-based strategies for food biopreservation. *International Journal of Food Microbiology*, 120(1-2), 51-70.
- Gialamas, H., Zinoviadou, K. G., Biliaderis, C. G. & Koutsoumanis, K. P., 2010, Development of a novel bioactive packaging based on the incorporation of *Lactobacillus sakei* into sodium-caseinate films for controlling *Listeria monocytogenes* in foods. *Food Research International*, 43, 2402-2408.
- Jayasena, D. D., & Jo, C., 2013, Essential oils as potential antimicrobial agents in meat and meat products: A review. *Trends in Food science & Technology*, 34, 96-108.
- Kanmani, P., & Lim, S. T., 2013, Development and characterization of novel probiotic residing pullulan/starch edible films. *Food Chemistry*, 141, 1041-1049.
- Kristo, E., Koutsoumanis, K. P. & Biliaderis, C. G., 2008, Thermal, mechanical and water vapor barrier properties of sodium caseinate films containing antimicrobials and their inhibitory action on *Listeria monocytogenes*. *Food Hydrocolloids*, 22, 373-386.
- Léonard, L., Degraeve, P., Gharsallaoui, A., Saurel, R. & Oulahal, N., 2014, Design of biopolymeric matrices entrapping bioprotective lactic acid bacteria to control *Listeria monocytogenes* growth: Comparison of alginate and alginate-caseinate matrices entrapping *Lactococcus lactis* subsp. *lactis* cells. *Food Control*, 37, 200-209.
- Martinez, R. C. R. & De Martinis, E. C. P., 2005, Evaluation of bacteriocin-producing *Lactobacillus sakei* 1 against *Listeria monocytogenes* 1/2a growth and haemolytic activity. *Brazilian Journal of Microbiology*, 36, 83-87.
- Núñez-Flores, R., Gimenez, B., Fernandez-Martín, F., Lopez-Caballero, M. E., Montero, M. P., & Gomez-Guillen, M. C., 2012, Role of lignosulphonate in properties of fish gelatin films. *Food Hydrocolloids*, 27(1), 60-71.
- Odila Pereira, J., Soares, J., Sousa, S., Raquel Madureira, Ana. Gomes, Ana. & Pintado, M., 2016, Edible films as carrier for lactic acid bacteria. *LWT - Food science and Technology*, 73, 543-550.
- Randazzo, W., Jimenez-Belenguer, A., Settanni, L., Perdone, A., Moschetti, M., Palazzolo, E., Guarrasi, V., Vargas, M., Antonietta German, M., & Moschetti, G., 2016, Antilisterial effect of citrus essential oils and their performance in edible film formulations. *Food Control*, 59, 750-758.
- Sánchez-González, L., Quintero Saavedra, J. I. & Chiralt, A., 2013, Physical properties and antilisterial activity of bioactive edible films containing *Lactobacillus plantarum*. *Food Hydrocolloids*, 33, 92-98.
- Sánchez-González, L., Quintero Saavedra, J. I. & Chiralt, A., 2014, Antilisterial and physical properties of biopolymer films containing lactic acid bacteria. *Food Control*, 35, 200-206.
- Seyedi, S., Koocheki, A., Mohebbi, M., & Zahedi, Y., 2014, *Lepidium perfoliatum* seed gum: A new source of carbohydrate to make a biodegradable film. *Carbohydrate Polymers*, 101, 349-358.
- Schou, M., Longares, A., Montesinos-Herrero, C., Monahan, F. J., O'Riordan, D., & O'Sullivan, M., 2004, Properties of edible sodium caseinate film and their application as food wrapping. *LWT- food science and technology*, 38, 605-610.
- Vescovo, M., Scolari, G., & Zacconi, C., 2006, Inhibition of *Listeria innocua* growth by antimicrobial-producing lactic acid cultures in vacuum-packed cold-smoked salmon. *Food Microbiology*, 23, 686-693.
- Zheng, L. Y., & Zhu, J. F., 2003, Study on antimicrobial activity of chitosan with different molecular weight. *Carbohydrate Polymers*, 54(4), 527-530.

## Preparation of anti-*Listeria* films by using methyl cellulose, sodium caseinate biopolymers and *Lactobacillus casei* PTCC 1608

H. Ghayoomi<sup>1</sup>, M. A. Najafi<sup>1\*</sup>, N. Soltani Tehrani<sup>1</sup>, M. Rahnama<sup>2</sup>

Received: 2016.11.15

Accepted: 2017.03.15

**Introduction:** The environmental problems of plastic materials have increased the importance of renewable edible films. In the manufacture of edible films, hydrocolloid compounds such as methyl cellulose and sodium caseinate are usually employed. Methyl cellulose is a biopolymer, soluble in water, and has substantial inhibitory properties against oxygen and lipids. Sodium caseinate has favorable mechanical properties and a high inhibitory effect on air transmission. Furthermore, it possesses good nutritional value. One of the most notorious pathogenic bacteria in food is the *Listeria spp.* which hastens food decay. *Listeria monocytogenes* is one of the most harmful species of bacteria that causes disease in humans. Lactic acid bacteria can inhibit the growth of cells that cause decay in food. The use of lactic acid bacteria in food has been made legal by the Food and Drug Administration of the United States of America (FDA). In this study, *Lactobacillus casei* PTCC1608 (*L. casei* 1608) was added directly to the film forming solution. The primary effect of *L. casei* 1608 and film type, i.e. sodium caseinate and methylcellulose polymers, were evaluated based on mechanical properties, water vapor permeability (WVP) and the opacity of films. Anti-listeria features of the films were studied under experimental conditions as the films were prepared against the growth of *Listeria innocua* IBRC-M10799 (*L. innocua* 10799). The *L. innocua* 10799 was selected because of its non-pathogenicity and its physiological similarity with *Listeria monocytogenes*.

**Materials and methods:** *L. casei* 1608 and *L. innocua* 10799 were purchased from credible organizations. The bacteria were prepared as lyophilization form. In order to propagate and prepare bacterial suspensions of *L. casei* 1608 and *L. innocua* 10799, the cells were inoculated in the de Man Rogosa Sharpe Broth (MRS Broth, Liofilchem, Italy) and Blood Heat Infusion broth medium (BHI, Liofilchem, Italy), respectively. The cultures were then incubated at temperatures between 30 and 37°C, respectively, for 24 hour. The cells were harvested after centrifugation for 15 minutes at 3500 rpm (Eppendorf 5810 model, Germany). The collected medium was washed twice with a saline buffer solution. The population growth curve of *L. casei* 1608 and *L. innocua* 10799 were obtained using the pour plate method and by using the UV-VIS spectrophotometer device (Cecil model, England) at OD= 600nm. In order to prepare the film formation solution of methyl cellulose (CAS 9004-67-5, Sigma-Aldrich, Madrid, Spain), four grams of powder and 1 g of glycerol were mixed with 100 ml sterilized distilled water. After homogenization and degassing, the film forming solution was transferred to the plastic container. To prepare the film formation solution of sodium caseinate, 5 g of sodium caseinate powder (CAS 9005-46-3, Sigma-Aldrich, Madrid, Spain) was added to distilled water along with 1.5 g of glycerol. The solution was planned to reach 100 ml and, after complete dissolution, the film formation solution warmed up to 85°C and then cooled. To prepare the bio-film, *L. casei* 1608 was added to the film forming solution until the number of *L. casei* 1608 in the dried film reached 10<sup>6</sup> CFU/cm<sup>2</sup>. The film formation solutions were transferred to plastic containers and were dried at 25°C for 24 hours. All films were placed in a desiccator at 25°C and 75% RH for one week. In order to evaluate the anti-listeria activity, the bio-films were put on tryptic soya agar (TSA) medium, inoculated with *L. casei* 1608 (10<sup>2</sup> CFU / cm<sup>2</sup>) for 12 days at 5°C. The number of pathogenic bacteria and *L. casei* 1608 were counted on days 0, 4, 8 and 12. Also, the prepared films were evaluated according to the ASTM D-882 (ASTM, 2001) as per the ASTM D-882 instruction manual (Testometric, Model M350-10CT, UK). WVP was determined according to the ASTM-96-95. The opacity of the films were assessed by using the spectrophotometric apparatus according to the method described by Nu nez-Flores *et al.* (2012). Comparing the mean values of data was based on a factorial experiment in a completely randomized design (CRD) with three replications, by the SAS software version 9.1. The chemical and microbial mean values were calculated using Duncan's and Tukey's tests, respectively.

1. Food Science and Technology Department, Faculty of Agriculture, Zabol University, Bonjar Ave, Zabol, Iran  
2. Health and Food Quality Control Department, Faculty of Veterinary, Zabol University, Bonjar Ave, Zabol, Iran  
(\*Corresponding author: E-mail addresses: m.najafi413@uoz.ac.ir, Najafi413@yahoo.com)

**Results & Discussion:** Data analysis showed that the bio-caseinate film hosted the highest survival rate of *L. casei* 1608 on the eighth day of culture (123.8%) when *L. casei* was concurrently present with *L. innocua* 10799. Analysis of data by the bio-methyl cellulose film showed that the strongest inhibitory effect on the growth rate of *L. innocua* 10799 was observed on the fourth day of the 12-day experimental duration ( $P < 0.05$ ). Furthermore, the weakest inhibitory effect on the growth rate was observed in pure films ( $P > 0.05$ ). Laboratory evaluations showed that the presence of lactic acid bacteria in films significantly increased the transparency, WVP and amount of elasticity. Nonetheless, a significant decrease in tensile strength and modulus of elasticity was observed. The type of matrix had a significant effect on mechanical properties. By comparing the methyl cellulose matrix and the sodium caseinate, it was observed that the methyl cellulose matrix showed significantly greater elasticity, tensile strength and higher modulus of elasticity while having less WVP and less opacity ( $p < 0.05$ ). The results of this study showed that sodium caseinate and methylcellulose films can exhibit anti-listeria properties when the films contain *L. casei* 1608. Accordingly, these processed films could be used as a suitable method for the storage and packaging of food. The approaches of this study are therefore effective in developing antimicrobial films.

**Key words:** Biopolymer, Lactic acid bacteria, *L. innocua*